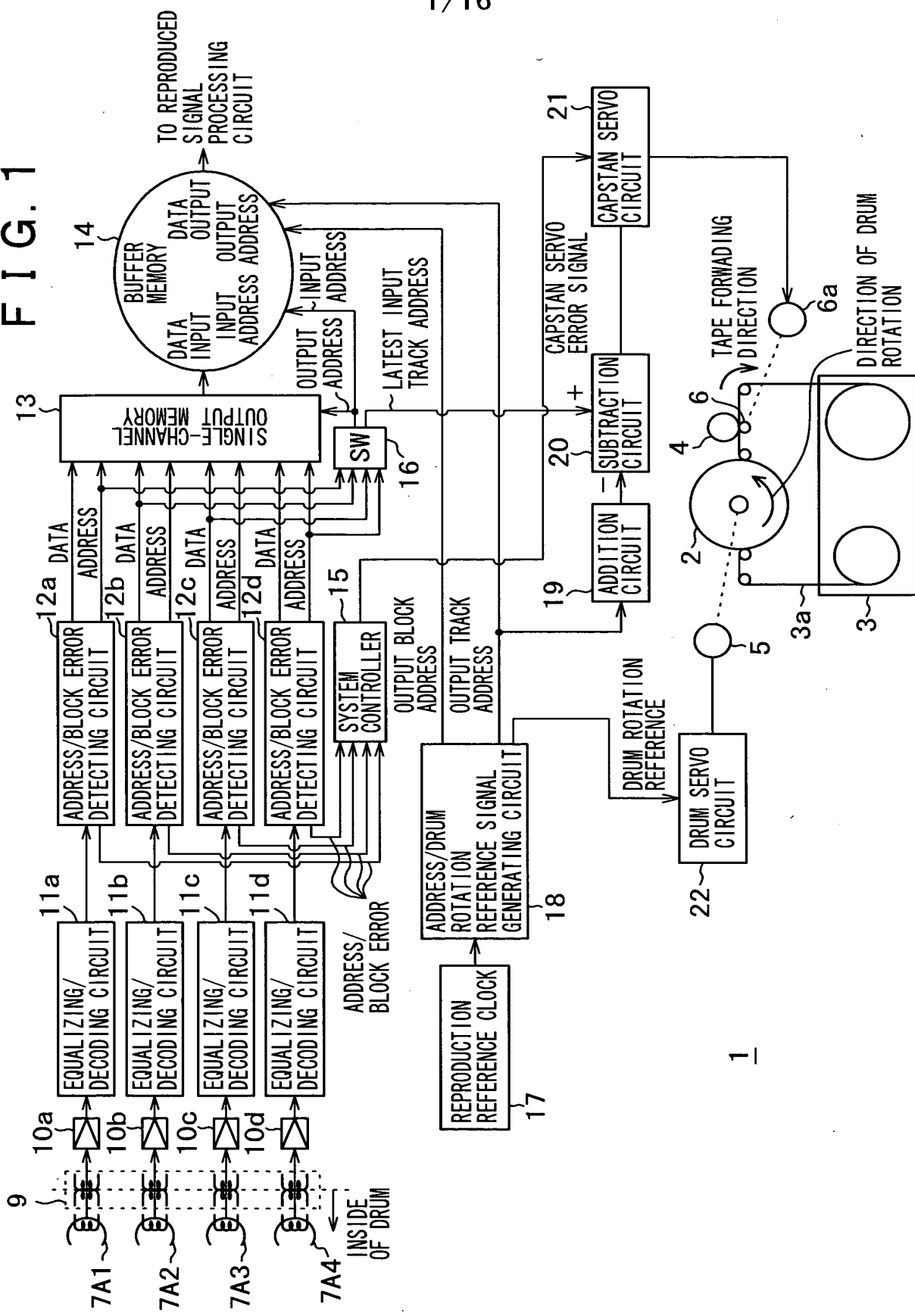
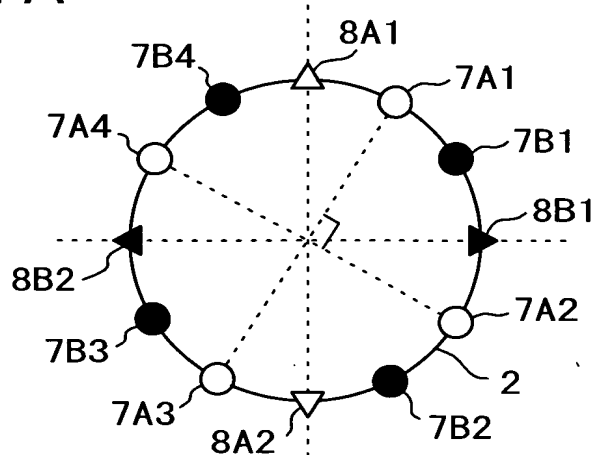


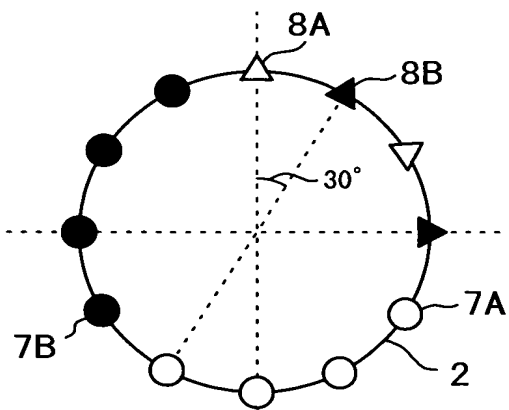
FIG. 1



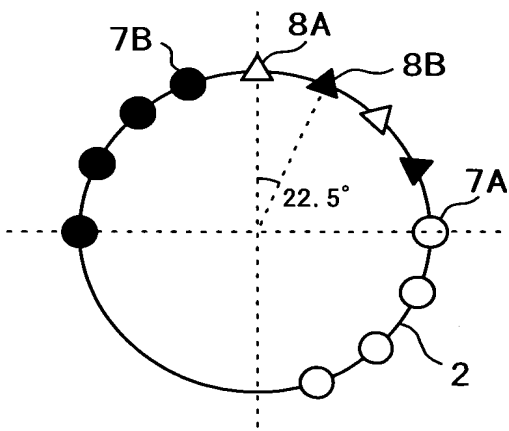
F I G. 2 A



F I G. 2 B

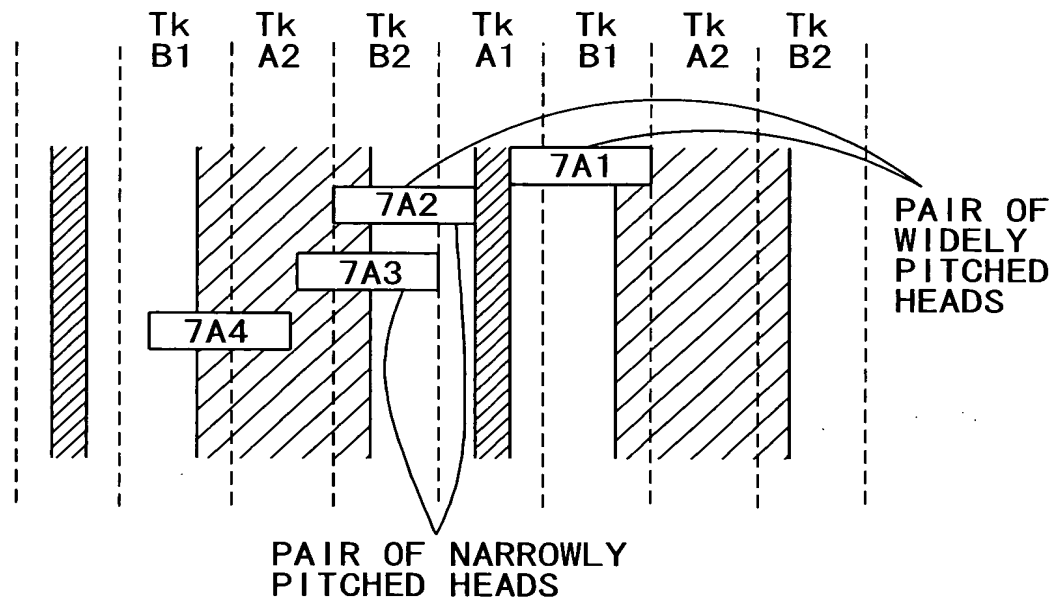


F I G. 2 C

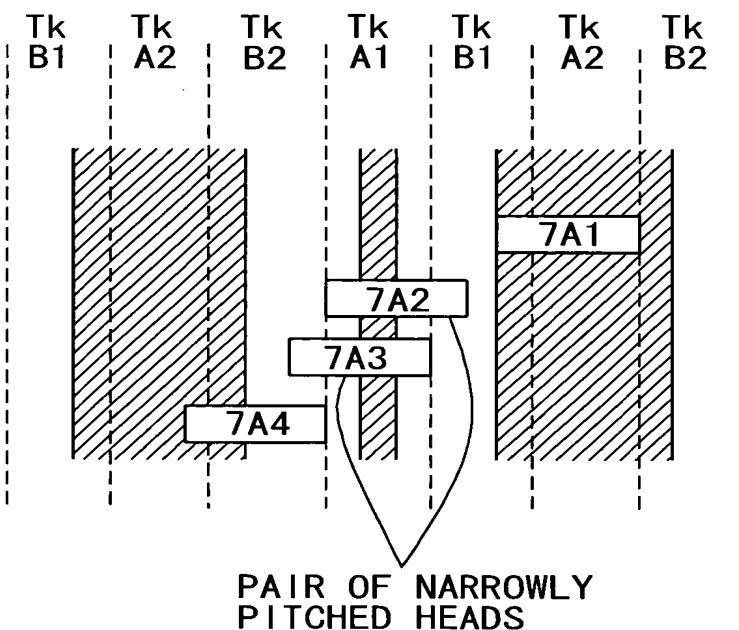


3/16

F I G. 3 A

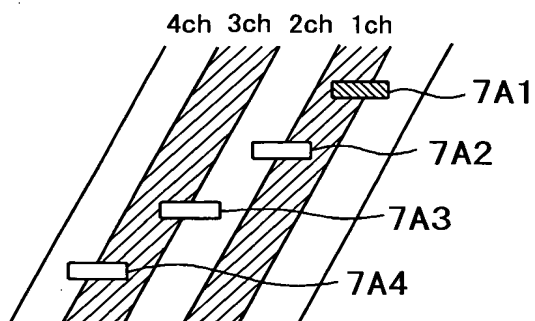


F I G. 3 B

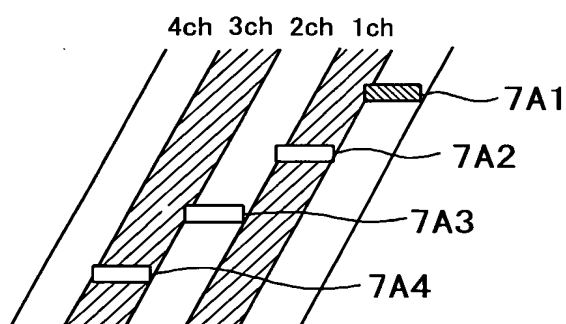


4/16

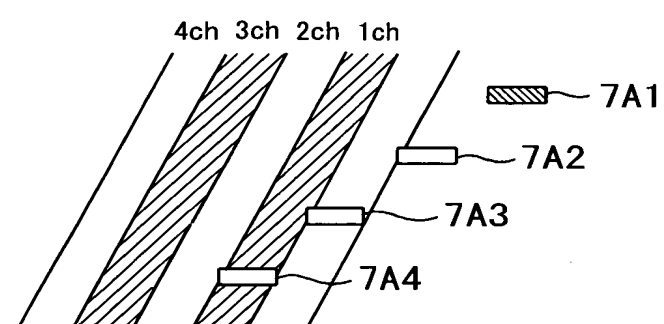
F I G. 4 A



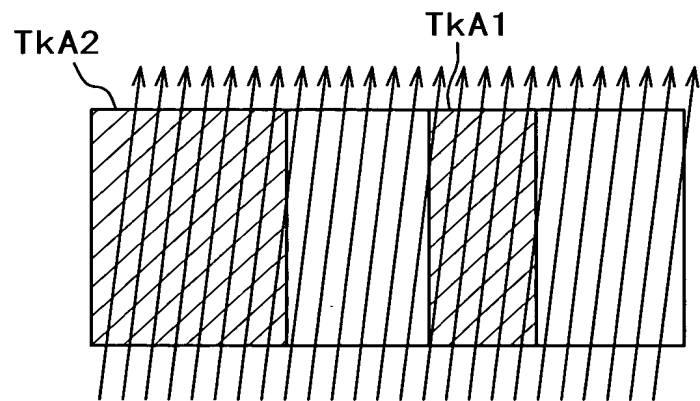
F I G. 4 B



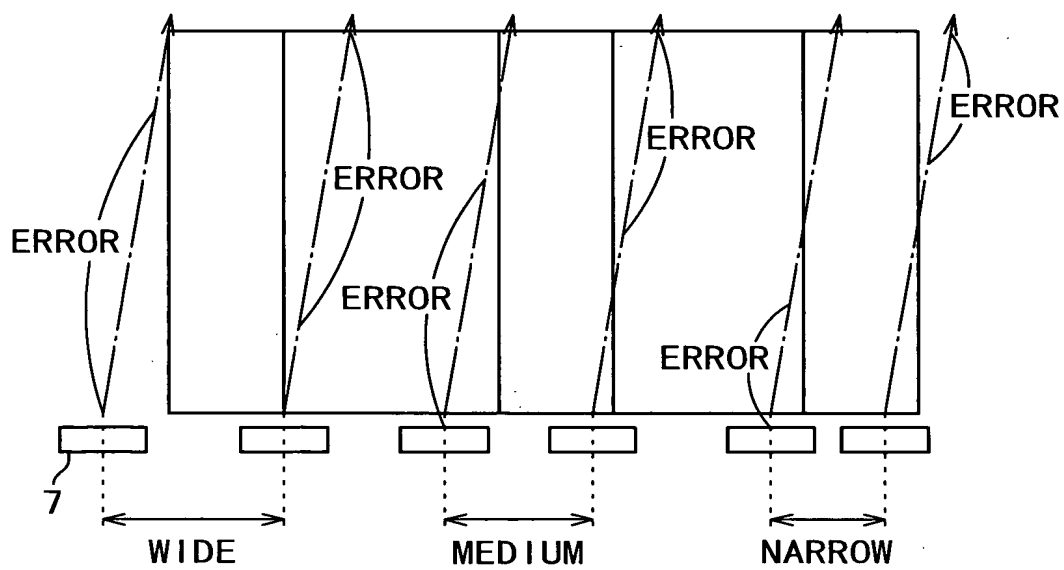
F I G. 4 C



F I G. 5 A



F I G. 5 B



F I G. 6

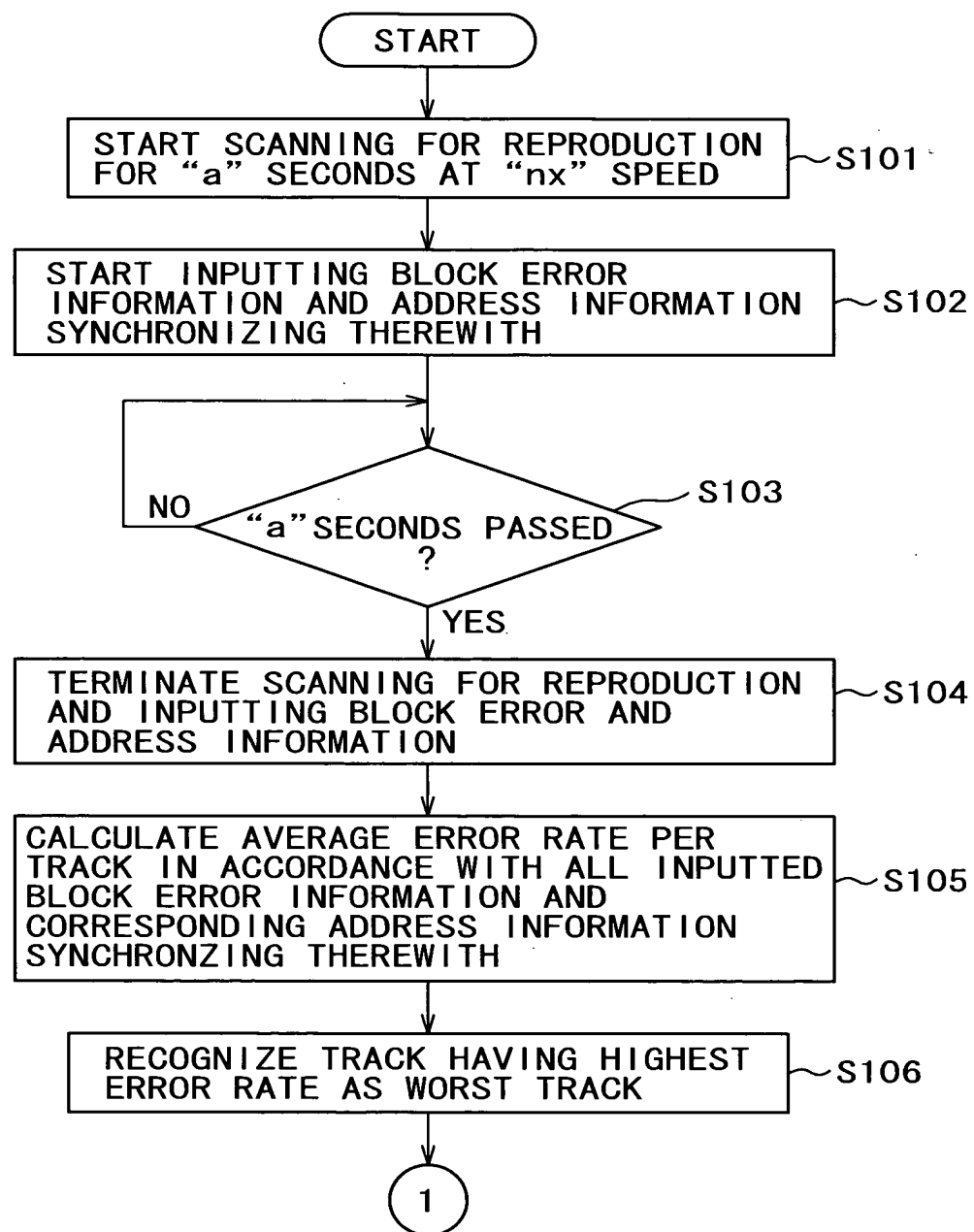
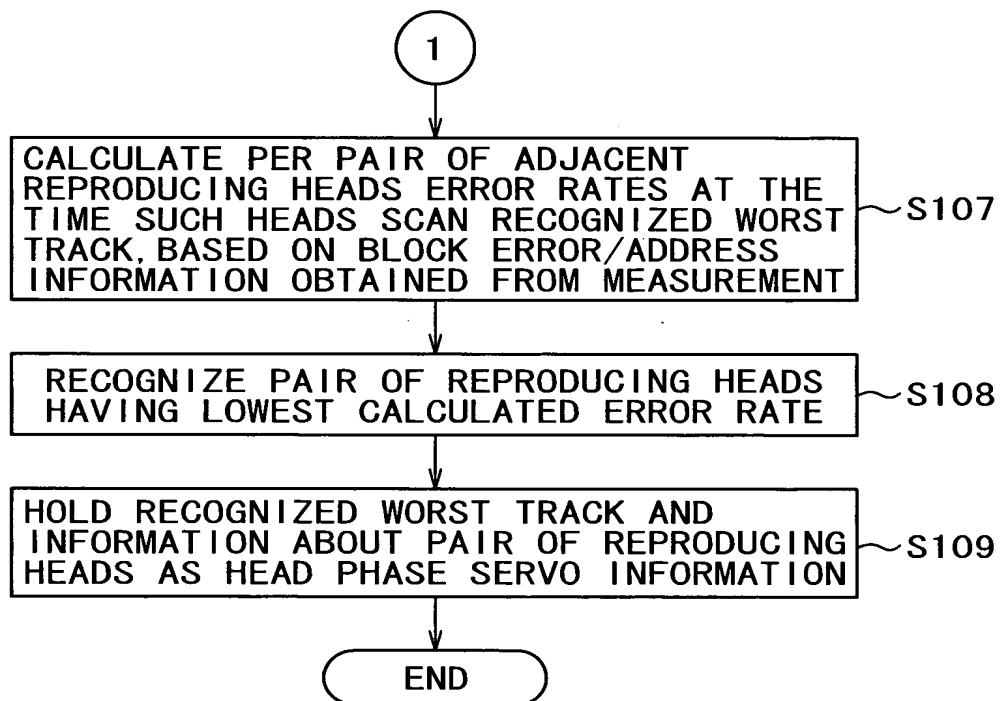
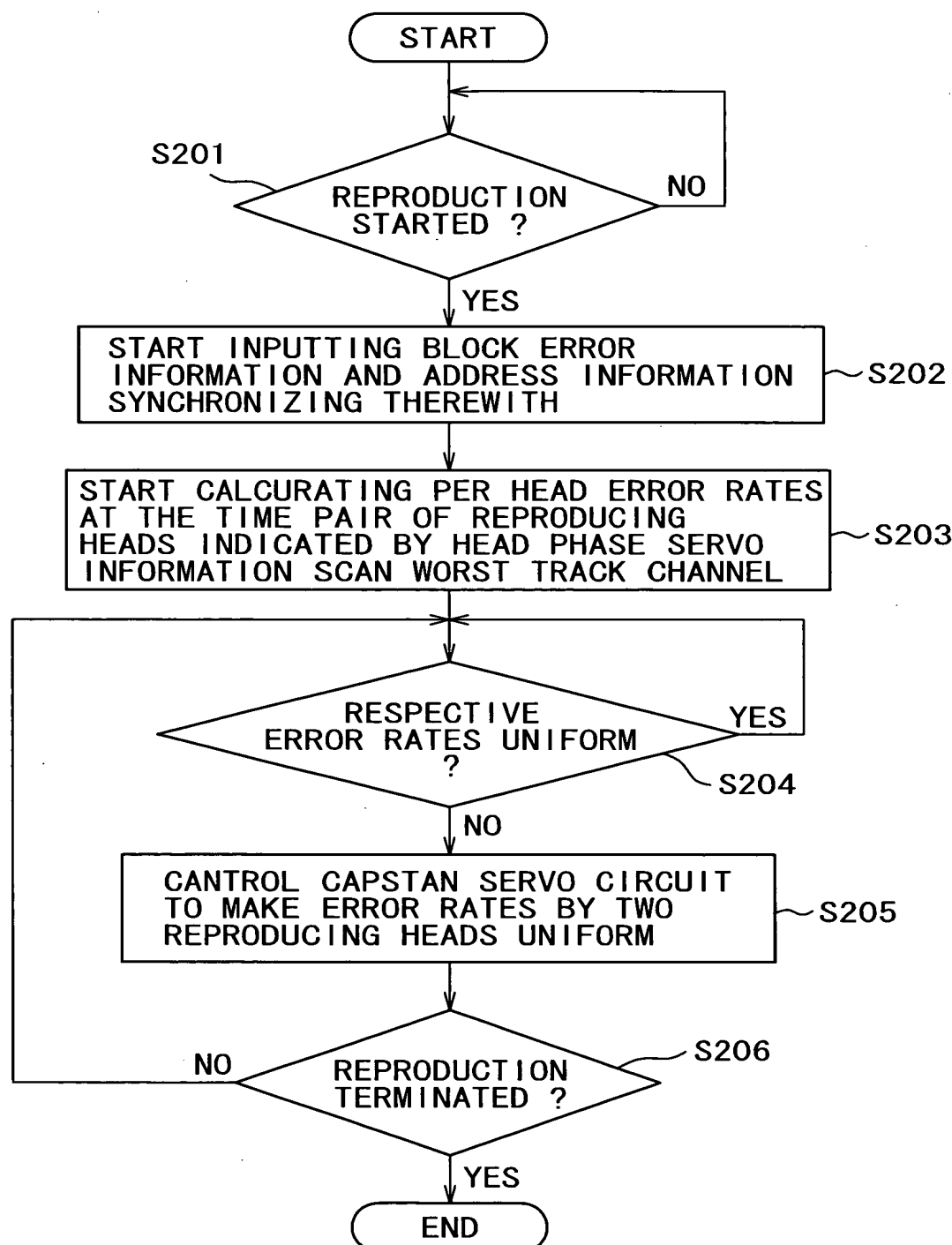


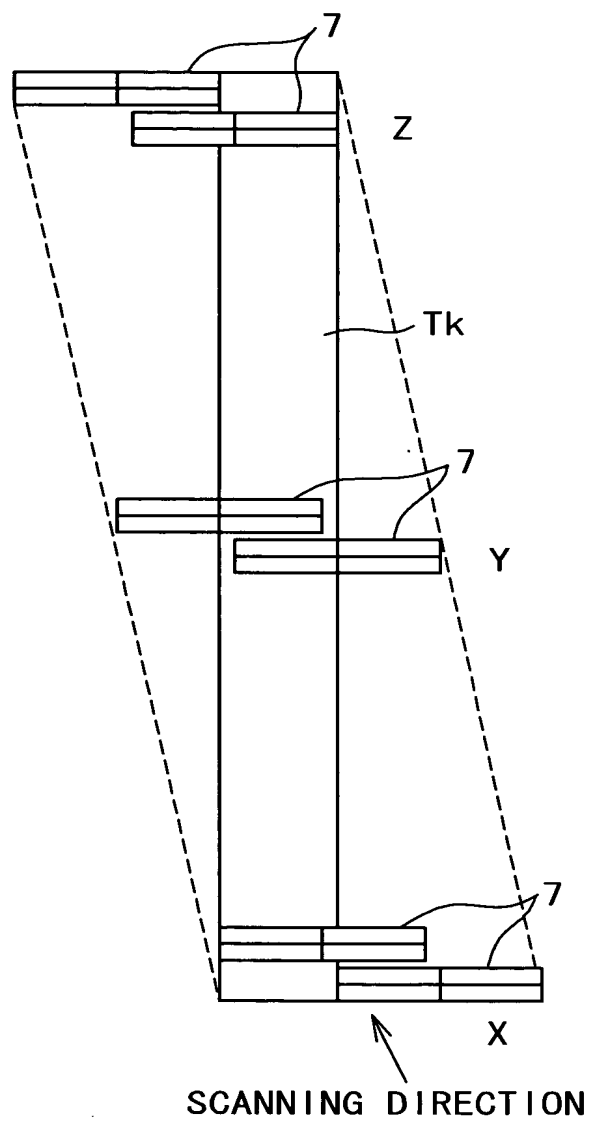
FIG. 7



F I G. 8

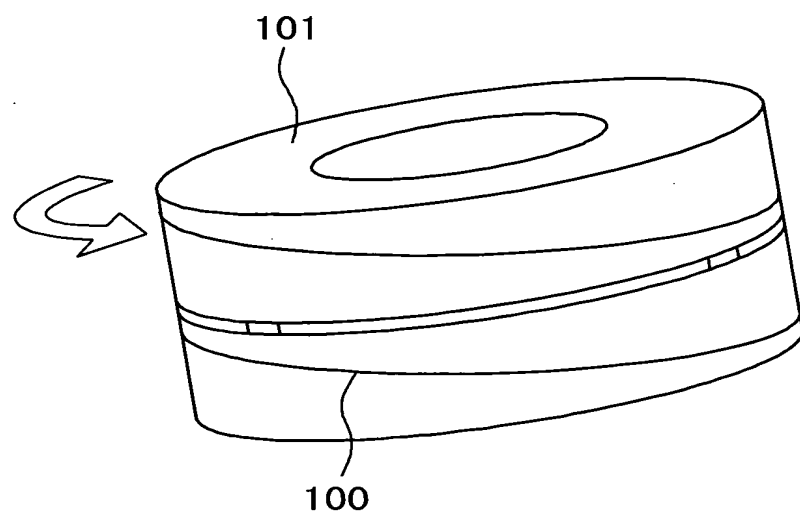


F I G. 9



10/16

F I G. 1 0



11/16

FIG. 11

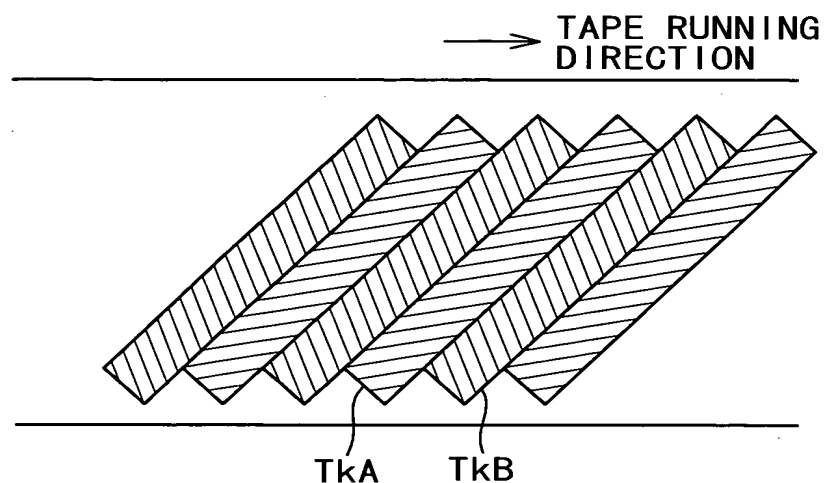
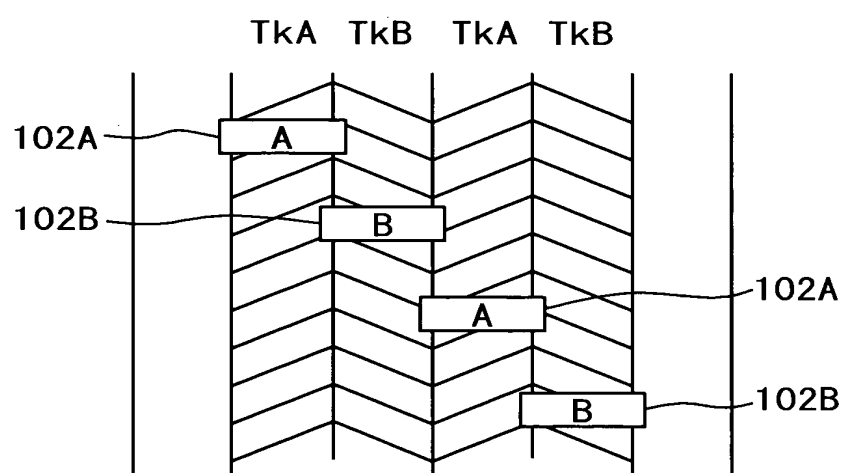
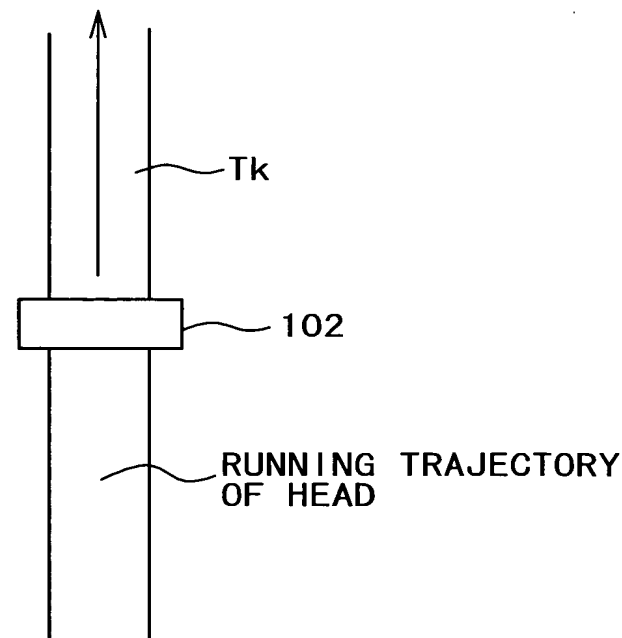


FIG. 12

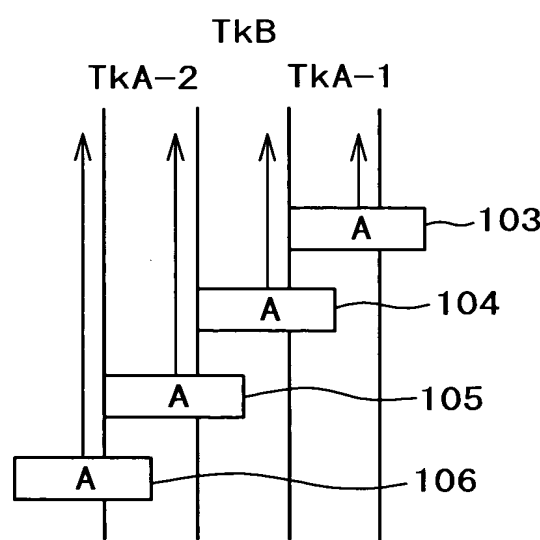


12/16

F I G. 1 3



F I G. 1 4



13/16

FIG. 15

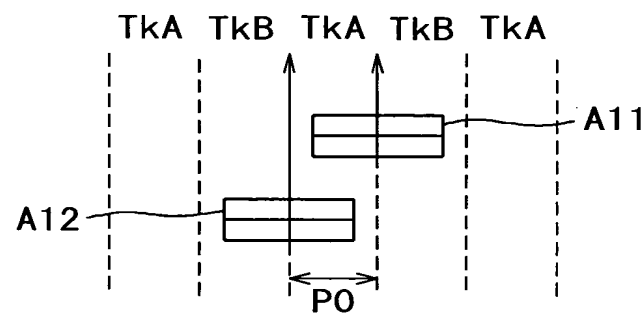
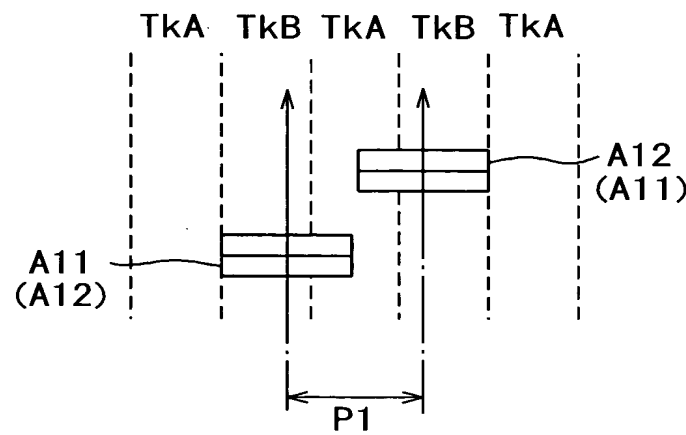


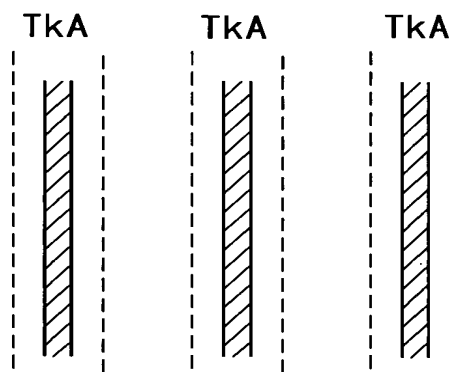
FIG. 16



WITH ERROR

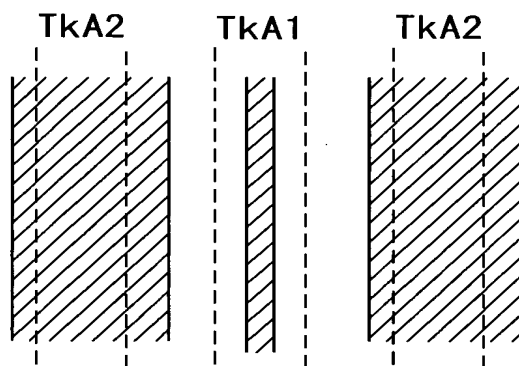
14/16

FIG. 17



RECORDING BY ONE RECORDING
HEAD PER AZIMUTH

FIG. 18



RECORDING BY TWO RECORDING
HEAD PER AZIMUTH

15/16

FIG. 19 A

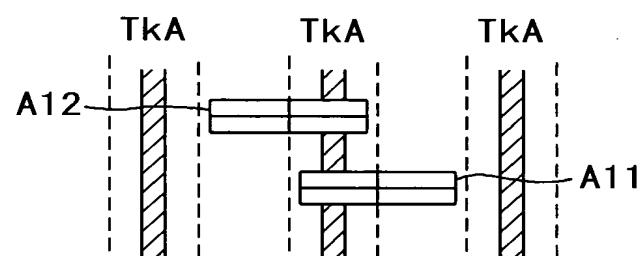
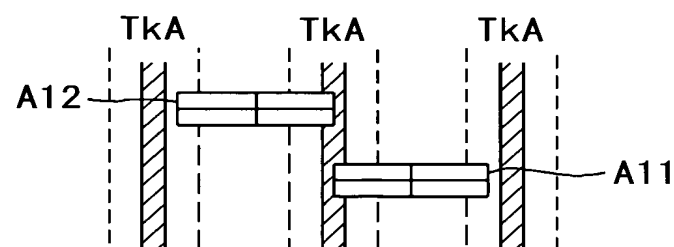


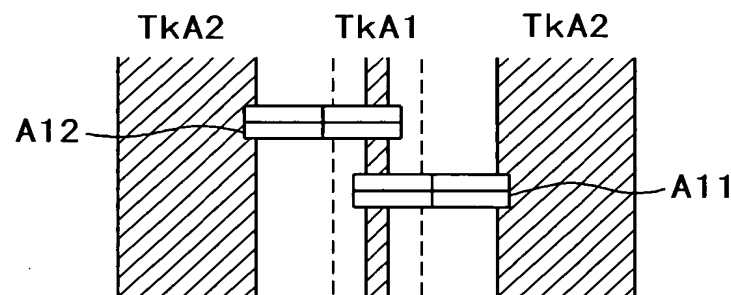
FIG. 19 B



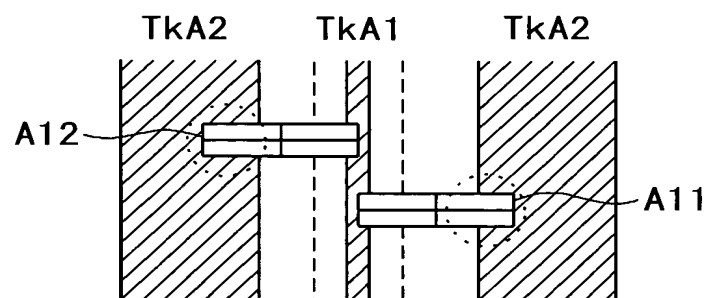
ONE-HEAD-PER-AZIMUTH RECORDING

16/16

F I G. 20 A



F I G. 20 B



TWO-HEAD-PER-AZIMUTH RECORDING